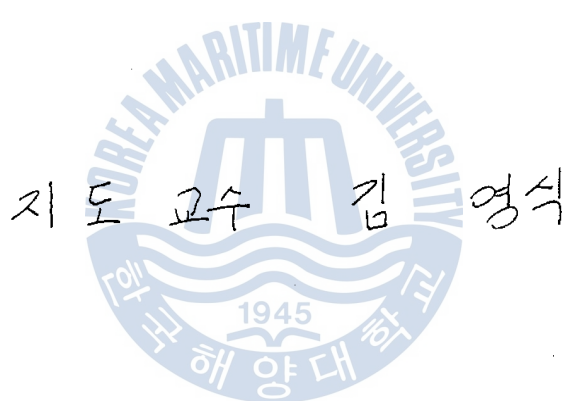


누적 손상 이론을 이용한 단순 모사 하중

하에서의 피로 수명 추정에 관한 연구

(A Study on the Fatigue Life Prediction under the Simple Simulated Loads Using the Cumulative Damage Theory)



지도 교수 김영식

1988년 12월 일

한국 해양 대학 선박 기계 공학과

전영학, 임준수, 노시갑, 김광현, 이규경

목 차

1. 서 론

2. 실험 방법

2.1 실험 재료 및 시험편

2.2 실험 방법

2.2.1 실험 장치

2.2.2 하중 부하 양식

3. 실험 결과 및 고찰

3.1 부하파형에 따른 응력-변형률 거동의 변화

3.2 단순 인장 육선과 반복 응력-변형률 육선

3.3 누적 손상 이론을 이용한 피로 수명 추정

3.3.1 저 씨이를 피로 수명 육선

3.3.2 선형 누적 손상 이론을 이용한 피로 수명 추정

3.3.3 Landgraf의 누적 손상 이론을 이용한 피로수명 추정

3.4 부하파형의 변화에 따른 파단 수명의 변화

3.5 피로 파단면의 파면학적 고찰

4. 결 론

참 고 문 헌

부 록

1 서론

실험학적 피로 시험 결과를 이용하여 각종 설구조물의 피로 수명을 예측하기 위해서는 우선, 설구조물에 반복 부하되는 운동 하중 (service loads)을 물리의 질차를 통하여 실험실적인 단순 하중의 조합들로 바꾸어야 한다. 또한, 여타 같은 단순 모사 하중 (simulated load) 하에서, 설구조물의 피로수명을 선형성 있게 추정할 수 있는 적절한 누적 손상 이론 (cumulative damage theory)이 설정되어야 한다.

이러한 누적 손상 이론은 Palmgren과 Minerol 의 한 선형 누적 손상 이론 (linear cumulative damage theory)¹⁾ 이 최초로 제안된 이래, 지금까지 여러 연구자들에 의해 다수의 이론이 제안되어져 있다.

본 논문에서는 이를 누적 손상 이론들 중 Palmgren과 Minerol 의해 제안된 이론과 Landgraf에 의해 제안된 이론²⁾에 의해, 단순 모사 하중 상태 하에서의 피로 수명을 저작자를 피로 시험 결과를 이용하여 주장하고, 이것을 실험치와 각각 비교하여 보았다.

또한, 부하 하중의 형상을 변화시켜, 이들 하중 형상의 변화에 따른 피로 수명의 변화를 관찰하였으며, 하중 형상의 변화에 따른 다른 다양한의 마지막 양상의 변화를 전자 현미경에 의해 관찰하였다.

2. 실험 방법

2.1 실험 재료 및 시험편

본 실험에 사용한 실험재료는 일반 용접 구조물용 재료로서 널리 사용되고 있는 SM 41B 강재로서, 그 학적 성분 및 기계적 성질을 Table 1, Table 2에 각각 나타내었다.

Fig. 1은 본 실험에서 사용한 시험편의 형상 및 칫수를 나타내고 있다. 시험편은 단 두께 25 mm인 강판의 중앙에서 압연 방향과 평행하게 채취하였다. 이와 같이 채취된 시험편은 선반 가공 후 #1200번 까지의 사포에 의해 원주 방향으로 연마되었으며, 평행부와 R부는 산화크롬으로 버핑(buffing) 연마 가공을 행하였다.

2.2 실험 방법

2.2.1 실험 장치

실험에 사용한 시험기로서는 정적 최대 하중 250 KN, 동적 최대 하중 ± 100 KN 용량의 대루드 서보 유압식 재료 시험기(closed loop servo-hydraulic testing machine)로서, 이 장치의 개략을 photo. 1에 나타내었다.

2.2.2 하중 부하 양식

Fig. 2는 저 사이클 피트수명 측정을 위하여 한 시험편에 대하여 시험편의 축 방향으로 일정의 전 변형률 진폭(total strain amplitude)을 반복 부하하는 다수 시험법(Companion specimen method)^③의 하중부하 양식을 나타낸 것이다.

또한, 피트수명 주정을 위하여 사용된 단순 모사 하중의 형식은, Fig. 3에 나타내은 바와 같이, 전폭 변동법(incremental step test)에 의한 삼각파형,

Sine파형, 사각파형으로 하였으며, 각각의 하중평대에 있어서 한 블록(block) 내의 전 변형률전도의 구선은 0.2, 0.4, 0.6, 0.8, 1.0%를 하였다.

전 실링을 통하여 변형률비(strain ratio; R_e)는 1인 완전 역전(fully reversed)으로 하였으며, 부하되는 변형률속도(strain rate)는 0.005/sec로 일정하게 하였다.

본 실험은 실온의 공기 중에서 행해졌으며, 실험 결과들은 SI 단위제로 정리되었다.



3. 실험 결과 및 고찰

3.1 무학 디형의 변화에 따른 응력-변형률 거동의 변화

Fig. 4, Fig. 5, Fig. 6은 한 블록 내에서의 전 변형률 전폭을 각각 0.2, 0.4, 0.6, 0.8, 1.0%의 5 가지로 구성하고, 디형은 Fig. 3 (a), (b), (c)에 나타내는 바와 같은 삼각디형, Sine디형, 사각디형으로 하여, 변동진폭법에 의한 피로하중을 부하하였을 때의 블록수 (number of block)의 변화에 따른 응력-변형률 히스테리시스 주파를 나타낸 것이다.

모든 조건에서 반복 블록수의 증가에 따라 히스테리시스 주파의 세로축인 응력값이 증가하고 있다는 것을 알 수 있다.

Fig. 7은 삼각디형으로 변동진폭법을 이용하여 실험을 행하였을 시 각각의 전 변형률 전폭에 대하여, 히스테리시스 주파로 부터 얻어진 블록수의 변화에 따른 응답응력의 변화양상을 나타낸 것이다. $\Delta\epsilon_a = 0.2\%$ 에 대한 응력응답은 블록수가 증가함에 따라 조금씩 감소하는 반복언화가 발생함을 알 수 있다. 반면 $\Delta\epsilon_a > 0.2\%$ 인 경우에 있어서의 응력응답은 블록수의 증가에 따라 차단수명에 가까운 영역을 제외하면 거의 직선적으로 변화함을 알 수 있다.

Fig. 8은 Sine디형으로, 변동진폭법을 이용하여 실험을 행하였을 시, 각각의 전 변형률 전폭에 대한 블록수의 변화에 따른 응답응력의 변화양상을 나타낸 것이다. $\Delta\epsilon_a = 0.2\%$ 에 대한 응력응답은 전수명에 걸쳐 거의 일정함을 알 수 있다. 반면, 고 변형율역에서 수명의 초기에 반복언화가 발생한 후, 블록수의 증가에 따라 서서히 반복경화 되고 있음을 알 수 있다.

Fig. 9는 사각디형으로 실험을 행하였을 시 블록수의 변화에 따른 응답응력의 변화양상을 나타낸 것이다.

Fig. 10은 각각의 디형에 있어서 $\Delta\epsilon_a = 0.2\%$ 와 $\Delta\epsilon_a = 1.0\%$ 에 대한 블록수의 변화에 따른 응답응력의 변화양상을 나타낸 것이다. $\Delta\epsilon_a = 0.2\%$ 인 조건에서의

응답응력은 사각파형, sine파형, 삼각파형의 순으로 낮아진다. 한편, $\Delta_{ta} = 1.0\%$ 인 조건에서는 사각파형, 삼각파형, sine 파형의 순으로 높아지며, 어느 경우에 있거나 사각파형의 응답응력이 가장 높음을 알 수 있다.

3.2 단순 인장곡선과 반복응력-변형률곡선

Fig. 11은 SM 41B 강재의 단순 인장곡선과 부하파형에 따른 반복응력-변형률곡선을 각각 비교하여 나타낸 것이다. 그림에 나타내져 있는 단순 인장곡선은 파로시팅을 행한 시험편과 동일한 시험편을 3%까지 인장변형시켰을 때의 응력-변형률곡선 중 일부를 나타낸 것이다. 한편, 반복응력-변형률곡선 중의 각 점들은 각각의 변형률조건에 대한 응답응력중 파단불록수의 1/2인 불록수에서의 응력값을, 그때의 변형률에 대한 응력값으로 취하여 나타낸 것이다. 그림에 나타내져 있는 바와 같이 반복응력-변형률곡선 모두는 단순인장곡선의 상부에 존재함을 알 수 있으며, 사각파형 부하시의 반복응력-변형률곡선이 가장 상부에 존재하고 있음을 알 수 있다.

3.3 누적손상이론을 이용한 파로수명추정

3.3.1 치자이를 파로수명곡선

Fig. 12는 수명추정의 기초데이터로 제공된 SM 41B 강재의 치자이를 파로수명곡선인 $\Delta_{ta} - 2N_f$ 곡선을 나타내고 있다.⁴⁾ 여기서 $2N_f$ 는 단파거치의 역전수(Numbers of reversal)를 나타낸다. $\Delta_{ta} - 2N_f$ 관계는 Basquin⁵⁾과 Manson-coffin⁶⁾식으로 부터 다음과 같이 표현된다.

$$\Delta_{ta} = \frac{\Omega_f'}{E} (2N_f)^{-b} + \Omega_f' (2N_f)^{-c} \dots \dots \dots \quad (1)$$

(단 Ω_f' , E, b, Ω_f' , c는 각각 실험으로부터 얻어지게 되는 계수 및 지수이다.) 실험결과를 이용하여 수(1)의 각 계수 및 지수를 구하면 Table 3으로 정리된다.

이와 같은 계수 및 차수는 Landgraf의 누적 법으로 순상이론에 의해 수명추정을 행할 때 이용된다.

3.3.2 선형 누적 순상이론을 이용한 되로우명 추정

Palmgren과 Miner에 의한 선형 누적 순상 이론에서 어떤 임의의 변형률(ϵ_{ta})가 1 사이클 부하될 때, 이것에 의해 야기되는 순상량을 D_i 라 하면

$$D_i = \frac{1}{(2N_f)_i} \quad \dots \dots \dots \dots \dots \dots \dots \dots \quad (2)$$

로 정의된다. 단, 여기서 $(2N_f)_i$ 는 $(\epsilon_{ta})_i$ 부하에 시험편의 단위 억간수 (number of reversal)로서 앞의 3.3.1 절의 지 사이클 피로 수명곡선으로 부터 얻어진다.

여기서, 전 수명동안 $(\epsilon_{ta})_i$ 가 부하된 사이클 수를 n_i 라 하면 $(\epsilon_{ta})_i$ 에 의해 야기되는 순상량 $\sum D_i$ 는

$$\sum D_i = \frac{(2n_i)}{(2N_f)_i} \quad \dots \dots \dots \dots \dots \dots \dots \dots \quad (3)$$

로 표시된다.

따라서, 전 부하 이력 (load history)에 대한 전 순상량 $\sum (\sum D_i)$ 은

$$\sum (\sum D_i) = \frac{2n_1}{(2N_f)_1} + \frac{2n_2}{(2N_f)_2} + \dots + \frac{2n_i}{(2N_f)_i} \quad \dots \dots \quad (4)$$

로 된다.

선형 누적 순상이론에서는 이와 같은 전 순상량 $\sum (\sum D_i)$ 가 1을 넘지 않아야 한다는 것으로 가정된다.

즉, 파괴의 규준은

$$\sum (\sum D_i) = 1 \quad \dots \dots \dots \dots \dots \dots \dots \quad (5)$$

로 된다.

이와 같은 방법에 의해 디로 수영을 추정한 결과를 실험을 통하여 얻어진 실제 디로 수영과 비교하여 Table 4에 나타내었다.

단, 이때 실험에 사용된 파형은 Fig. 3 (a)에 나타낸 '진폭변동법의 삼각파형' 이었는.

3.3.3 Landgraf의 누적 손상 이론을 이용한 디로 수영 추정

Landgraf의 누적 손상 이론에 의한 손상 파라미터 (damage parameter)는 전술한 것 사이클 디로 수영곡선인 (1)식으로 부터 얻어진다.

여기서, 임의의 $(n_{ta})_i$ 부하시 향이 역전수방 제로 내부에 누적되는 손상량 D_i 는

부록에 수록된 유도 과정에 의해

$$D_i = \frac{1}{(2N_f)_i} = \frac{1}{2N_t} \left(\frac{(\epsilon_{pa})_i}{(\epsilon_{ea})_i} \right)^{\frac{1}{b-c}} \quad \dots \dots \dots \dots \dots \quad (6)$$

로 된다.

즉, $(n_{ta})_i$ 부하시, 그때의 단성 변형률 성분 $(\epsilon_{ea})_i$ 과 소성 변형률 성분

$(\epsilon_{pa})_i$ 만 알 수 있으면, 손상량 D_i 는 구할 수 있다.

마찬가지로 규준은 전 하중이력에 대한 전 손상량 $\sum D_i$ 가 1 일 때 이므로

$$\sum D_i = \sum \frac{1}{(2N_f)_i} = \frac{1}{2N_t} \sum \left(\frac{(\epsilon_{pa})_i}{(\epsilon_{ea})_i} \right)^{\frac{1}{b-c}} = 1 \quad \dots \dots \dots \dots \quad (7)$$

이와 같은 방법에 의해 디로 수명을 추정한 결과를 Table 5에 나타내었다.
이상에서 알 수 있는 바와 같이 Landgraf의 손상 이론에 의해 얻어진 추정수명이
실제의 수명에 더욱 가까워서 이러한 결과로 부터, 본 실험에 적용된 모사피로
하중에 대하여 Landgraf의 누적 손상 이론이 선형 누적 손상 이론보다 더욱
정확한 추정수명을 준다는 것을 알 수 있다.



3. 부하파형의 변화에 따른 파단수명의 변화

Table.6은 FIG. 3 (a), (b), (c)에 나타내져 있는 바와 같은 삼각파형, sine파형, 사각파형의 변동진폭법의 각각 부하장을 각각 부하하였을 시의 시험법의 파단수명을 비교하여 나타낸 것이다.

삼각파형과 sine파형 부하시의 파단수명은 거의 동일하게 나타나지만, 사각파형 부하시에는 앞의 두 가지 파형에 비해 파단수명이 현격히 저하한다는 사실을 알 수 있다.

3.5 파로파단면의 파면학적 고찰

photo. 2는 아주시럽법에 의해 $C_{ta} = 0.2\%$, $E_{ta} = 1.0\%$ 을 각각 부하하여 파단시킨 파면의 거시적인 양상을 나타낸 것이다. 사진으로 부터 알 수 있는 바와 같이, E_{ta} 가 기울수록 파면은 거칠어 지며, 파면상에 나타나는 스텝(step)의 수도 C_{ta} 가 기울수록 많아짐을 알 수 있다.

photo. 3은 아주시럽법에 의해 $C_{ta} = 0.2\%$, $E_{ta} = 1.0\%$ 을 각각 부하하여 파단시킨 파면의 미시적인 양상을 나타낸 것이다.

$C_{ta} = 0.2\%$ 인 경우, 파단면은 스트라이에이션 (striation)의 형성이 지속적임을 알 수 있다.

반면, $C_{ta} = 1.0\%$ 인 경우, 파면상에는 스트라이에이션보다는 러브 마크(rub mark)와 타이어 트랙(tire track)의 형성이 지속적 이게 될 수 있다.^{1), 8)}

photo. 4는 진폭변동법(incremental step test)에 의해, 부하파형을 각각 삼각파형, sine파형, 사각파형으로 하여 파로 파단 시켰을 시의 파단면의 거시적인 양상을 촬영한 사진이다. 부하파형의 변화에 따른 거시적 파면 양상의 변화는 관찰 할 수 없었다.

photo. 5는 위의 photo. 4 파면을 각각 확대한 파면면의 미세적인 양상을 나타낸 것이다. 삼각파형과 Sine파형의 하중을 부과하였을 시의 파면면의 양상은 거의 동일하게, 라인과 라이어 트랙, 그리고 스트라이에이션의 흔적된 상태로 나타났다. 반면, 사각파형의 하중을 부과한 그것의 파면상에서는, 이를 이유에 Serrated한 파면이 나타나는 것은, 사각파형의 하중 부과 조건이 종역하중의 양상을 동반함으로 인해, 저로의 변형속도가 하중의 부하속도를 따르지 못하기 때문으로 생각되며, 이의 결과로 파로수명에 있어서도 앞의 삼각파형 또는 Sine파형 부하시 보다 훨씬 단축되는 것으로 수료된다.



4. 결론

본 논문에서는 SM 41B 강재에 실험을 하여 단순 모사 부하 하중을 두 가지의 측정수법을 구하고, 이 실험 결과를 기준의 그 가치의 누적 손상 이론에 의해 추정된 측정수법과 비교, 고찰하였다. 또한, 부하파형을 삼각파형, Sine파형, 사각파형으로 각각 변환시키고, 이를 부하파형의 변화에 따른 수명의 변화를 관찰하였으며, 이를 파로 단면의 미시적인 양상을 아울러 관찰하였다.

이상의 실험을 행한 결과, 다음과 같은 결론을 얻었다.

1. 전통 변동법을 이용하여 삼각파형, Sine파형, 사각파형의 측정수법을 각각 부하하는 경우 SM 41B 강재의 반복 응력-변형율 축선은, 단순 인장 축선 보다 상부에 위치하여 반복 경화 거동을 나타낸다.

2. 선형 누적 손상 이론에 의해 일어진 주성수명 보다는 Landgraf의 누적 손상 이론에 의해 일어진 주성수명이 실험치에 더욱 접근했다.

3. 부하파형을 삼각파형, Sine파형, 사각파형으로 하여 실험을 행한 결과, 삼각파형, Sine파형 부하시의 측정수명은 거의 동일하였으나, 사각파형 부하시의 측정수명은 현격히 단축되었다.

4. 다수 시험법에 의해 파단된 파면을 관찰한 결과, 파단면은 차 연령을 부하시에는 스트라이에이션, 고연령을 부하시에는 각별과 아이어 트랙의 형성이 관찰되었다.

5. 전통 변동법에 의해 부하파형을 삼각파형, Sine파형, 사각파형으로 하여 파단시킨 파단면을 관찰한 결과, 삼각파형, Sine파형 부하시의 파단면 양상은 거의 비슷하였으나, 사각파형 부하시에는 앞의 두 파형에 비해 더욱 serrated한 단면 양상을 드러난 하였다.

〈 참고 문헌 〉

- 1) Gurney, T., R., Fatigue of welded structures, Cambridge Univ. Press, pp. 368 ~ 369, 1979
- 2) Landgraf, R., W., Cumulative fatigue damage under complex strain histories, ASTM STP 519, pp. 213 ~ 228, 1973
- 3) Crews, J., H., Hardrath, H., F., Experimental Mechanics, vol. 23, pp. 318 ~ 320
- 4) 노재중, 가공공정이 다른 두 종류의 저 주파수에 대한 기싸이클 파트릭팅에 관한 연구, 한국 해양 대학, 석사논문, 1988
- 5) Fluchs, H., O., Stephens, R.; I., Metal fatigue in engineering, A wiley interscience pub., pp. 56 ~ 57, 1980
- 6) Smith, R., W., Hirschberg, M., H., and Hinson, S., S., Fatigue behavior of materials under strain cycling in low and intermediate life range, NASA TN D-1574, 1953
- 7) ASM, Metal Handbook, Fractography and atlas of fractographs (8th ed.), 1974
- 8) Hotta, T., Ishiguro, T., et al., Fractographic studies on the low cycle fatigue of steels, cracking and fracture in welds, p2 of 7th Int. sym. of Jws

< 두 품 >

- Landgraf의 damage parameter의 유도

적 쌓임률 파트 육선으로 부터

$$\varepsilon_{ca} = \frac{\sigma_f'}{E} (2N_f)^b + \varepsilon_f' (2N_f)^c \quad \dots \dots \dots \quad (1)$$

여기서 ε_{ca} : 전 변형률 층축 (total strain amplitude)

$2N_f$: 파운 역전수 (fatigue life in reversal to failure)

σ_f' , E , b , ε_f' , c : 적 쌓임률 파트 시험으로 부터 얻어지는
상수

(1)식을 $(\sigma_f'/E) \cdot (2N_f)^b$ 로 나누면

$$\frac{E \cdot \varepsilon_{ca}}{\sigma_f' (2N_f)^b} = 1 + \frac{\varepsilon_f' E}{\sigma_f'} (2N_f)^{c-b} \quad \dots \dots \dots \quad (2)$$

$$\text{따라서} \quad \frac{E}{\sigma_f' (2N_f)^b} = \frac{1}{\varepsilon_{ca}}$$

$$\frac{\varepsilon_f' \cdot E}{\sigma_f'} = \frac{1}{2N_t}$$

$2N_t$: 철강에서의 파운 역전수

$$\therefore \frac{\varepsilon_{ta}}{\varepsilon_{ca}} - 1 = \left(\frac{2N_f}{2N_t} \right)^{c-b} \quad \dots \dots \dots \quad (3)$$

$$\frac{\varepsilon_{pa}}{\varepsilon_{ca}} = \left(\frac{2N_f}{2N_t} \right)^{c-b}$$

$$\therefore D = \frac{1}{2N_f} = \frac{1}{2N_t} \left(\frac{\varepsilon_{pa}}{\varepsilon_{ca}} \right)^{\frac{1}{b-c}}$$

Table 1. Chemical compositions of test materials.

| Materials Desig. | Chemical composition (wt. %) | | | | | | | Ceq | |
|---------------------|------------------------------|------|-----|-------|-------|----|----|-----|-------|
| | C | Si | Mn | P | S | Ni | Cr | | |
| SM 41 B | 0.13 | 0.28 | 1.0 | 0.014 | 0.004 | - | - | - | 0.303 |

Table 2. Mechanical properties of test materials.

| Materials | Gauge Length (mm) | Yield Strength (MPa) | Tensile Strength (MPa) | elongation (%) | Red. of Area (%) |
|-----------|-------------------|----------------------|------------------------|----------------|------------------|
| SM 41 B | 200 | 289.1 | 426.6 | 33 | |

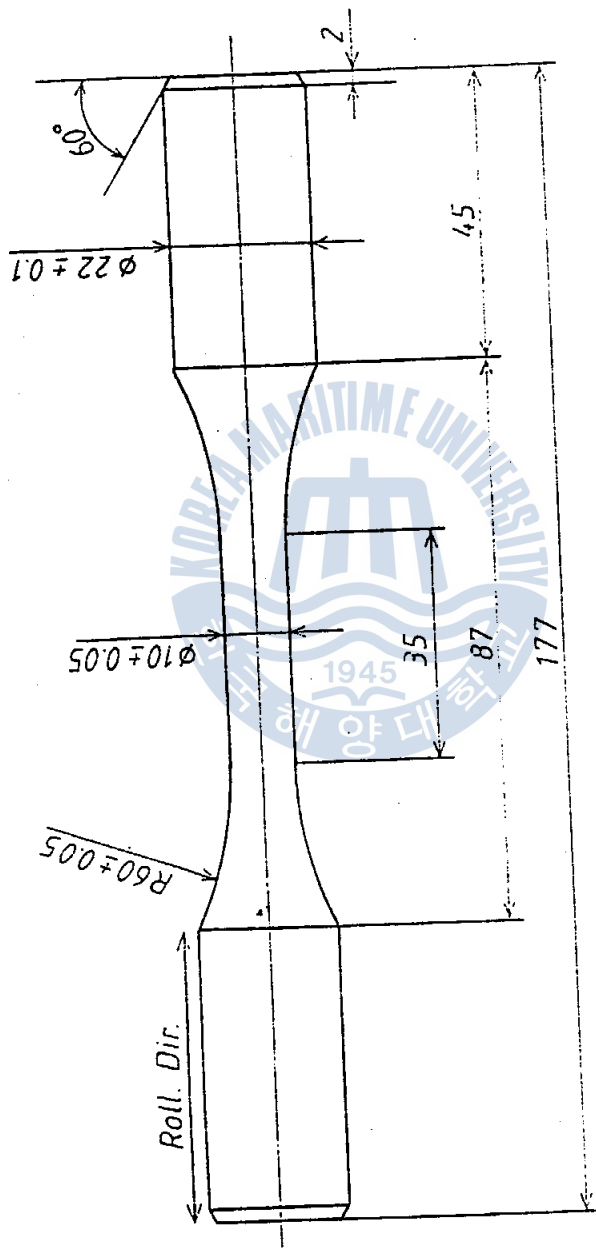
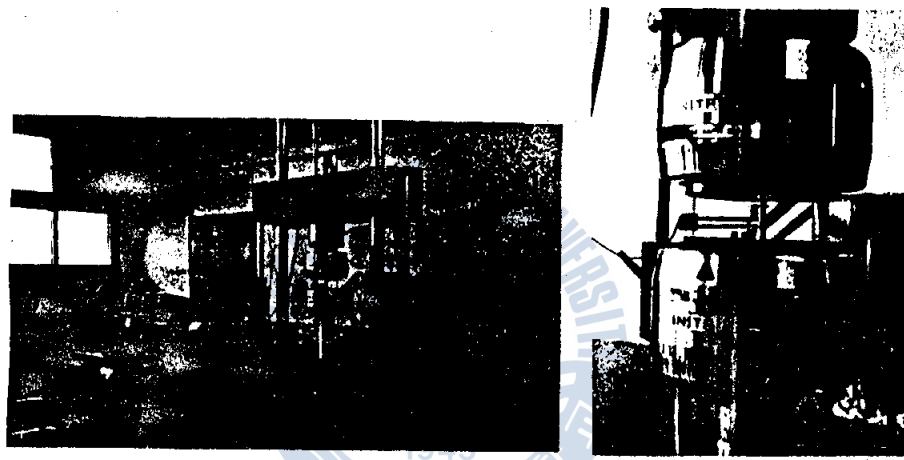


Fig.1. Configuration & dimensions of specimens.



Phototo.1. General views of material testing machine.

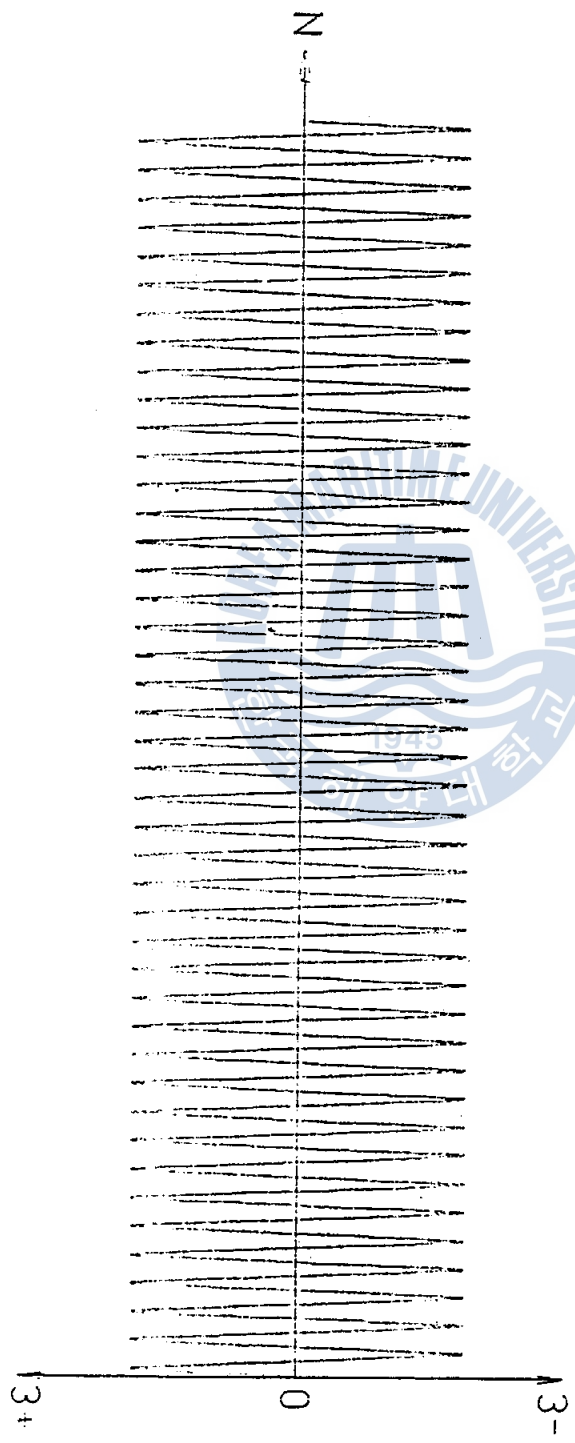
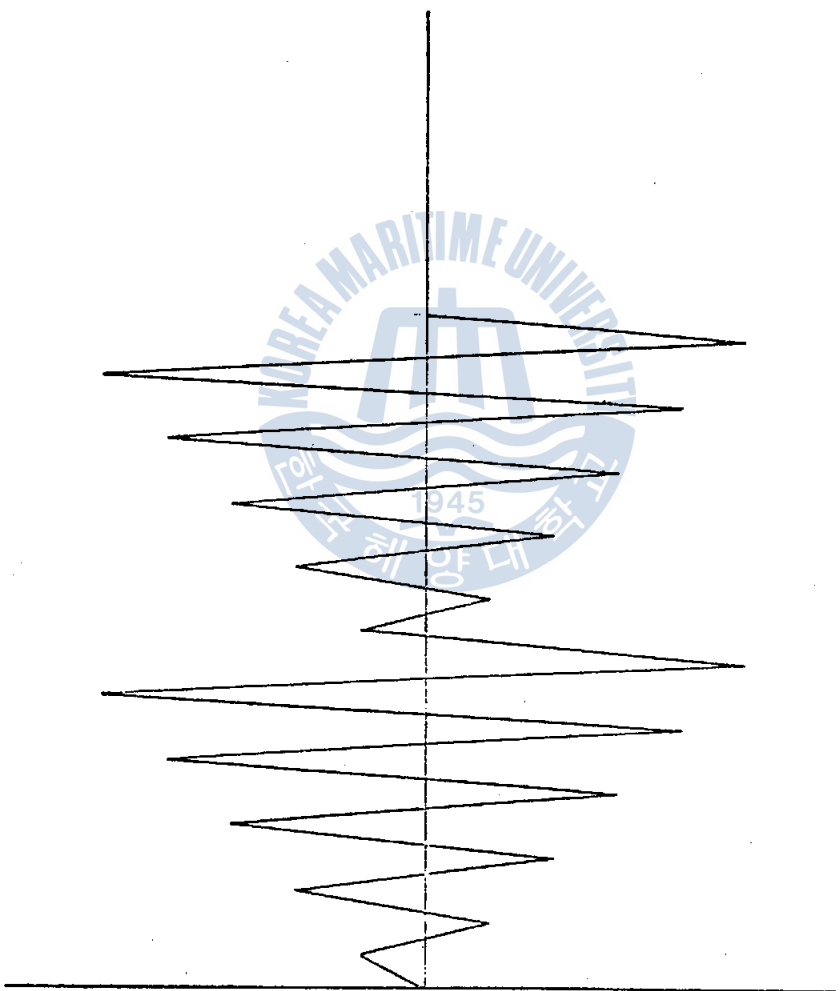
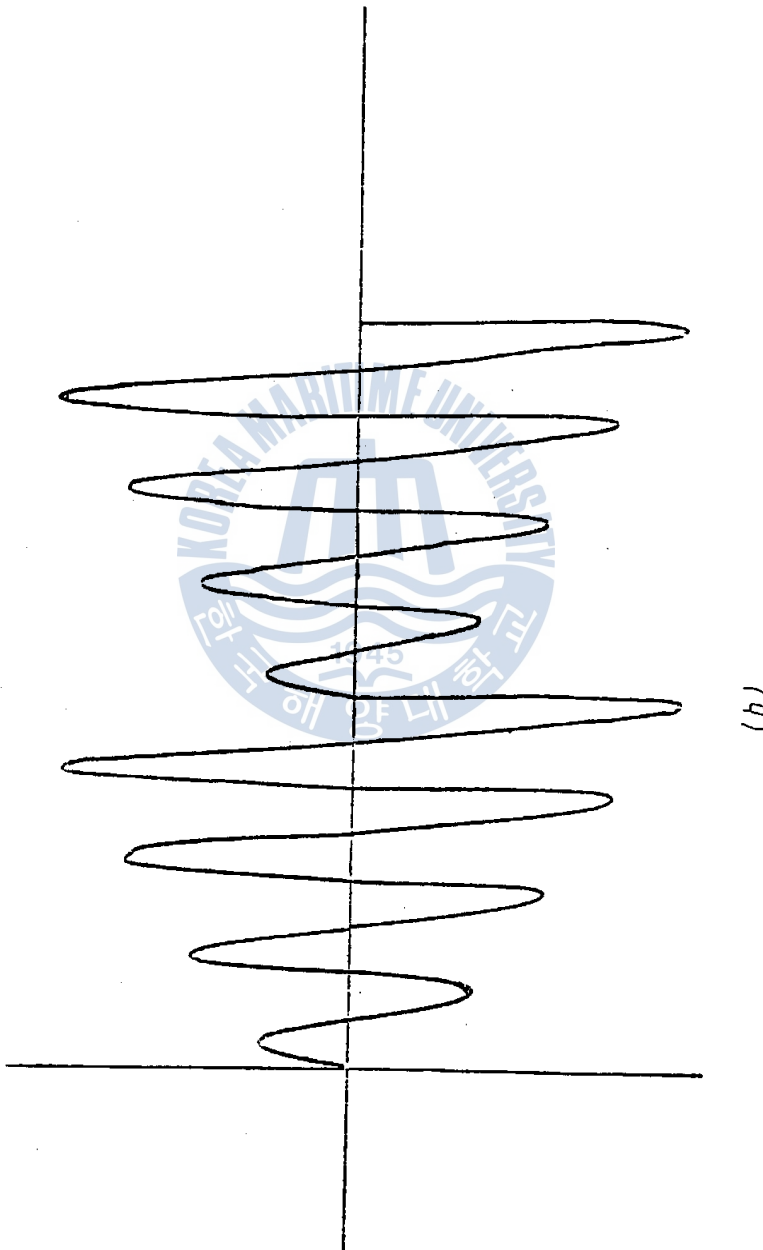


Fig. 2 Type of control condition. (companion specimen method)

(a) Incremental triangular waveform





Incremental sine waveform

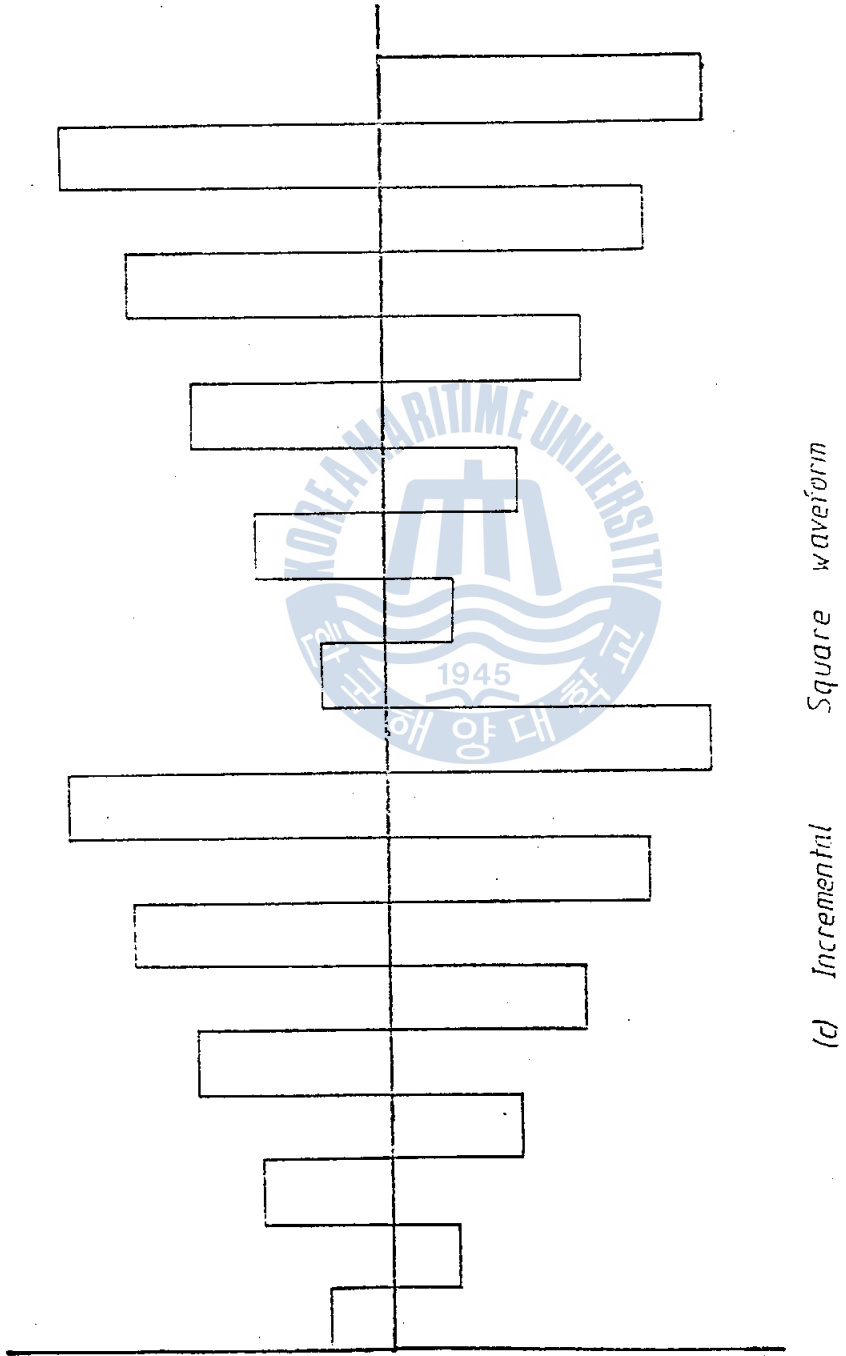


Fig. 3 Types of the simulated load

(1 loop) (250 loop)

SM 4iB
Triangular
Wave form

100 MPa
0.2 %

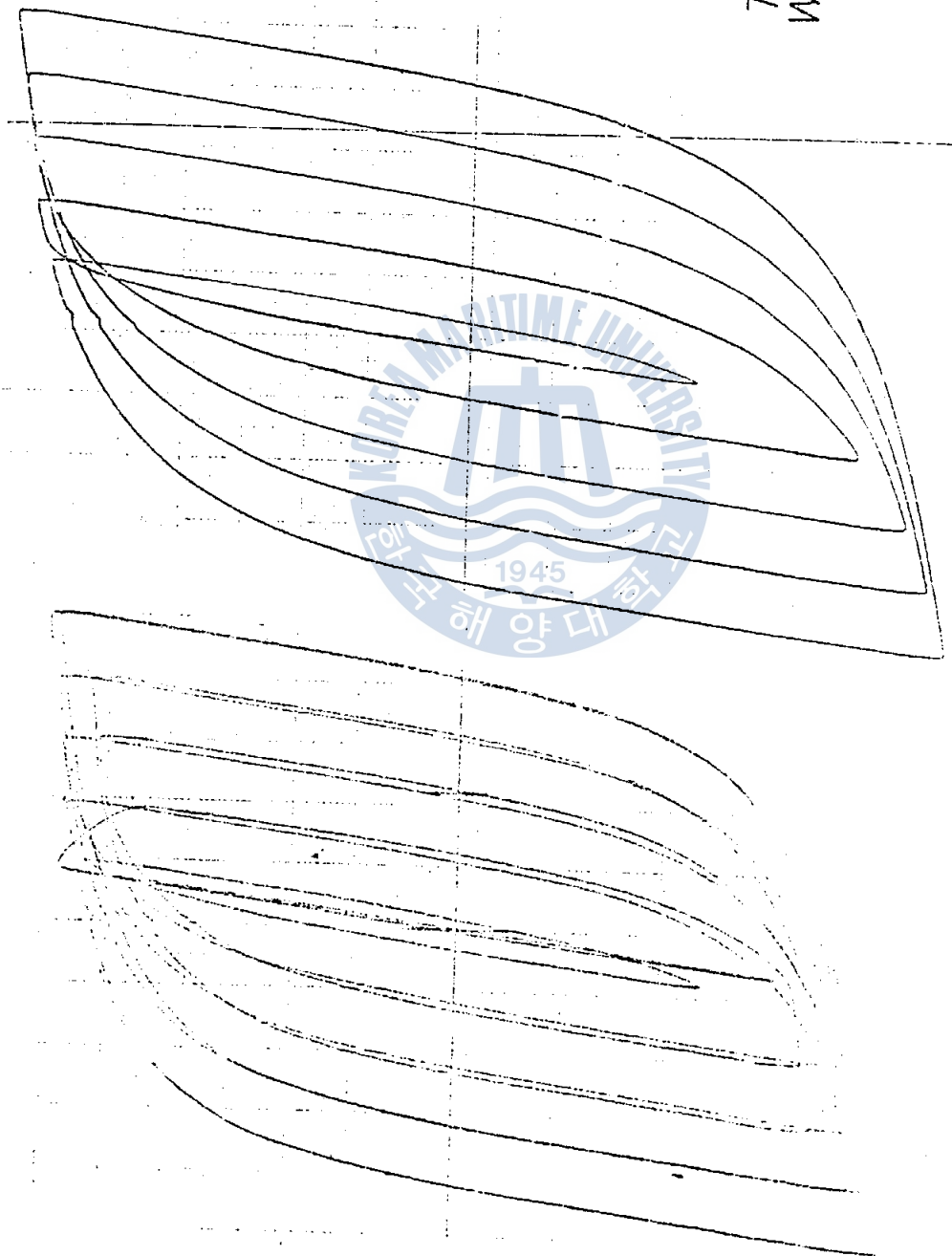
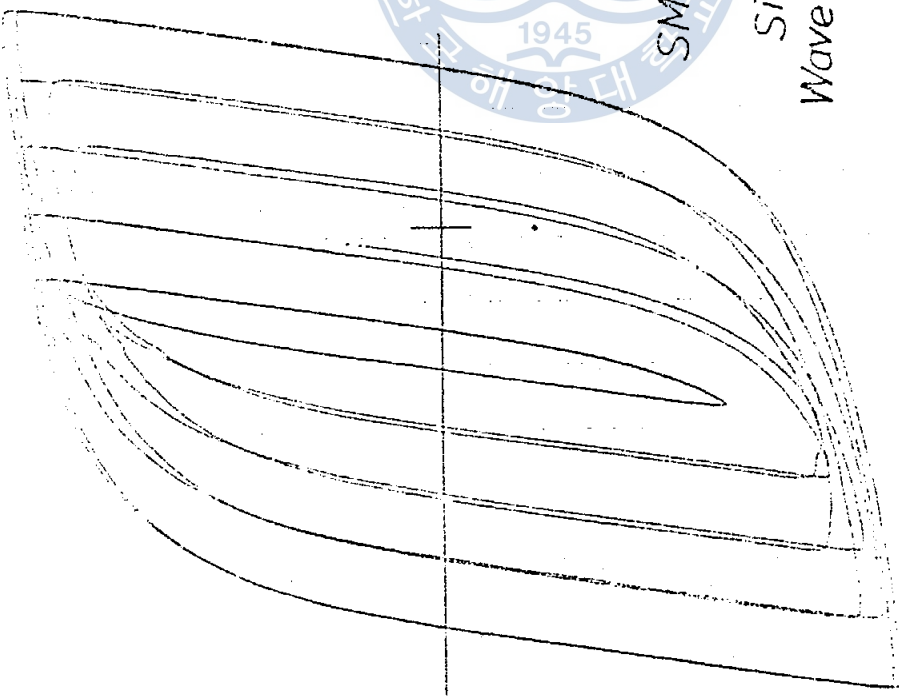


Fig. 4 Stress-strain hysteresis loops (Incremental step)



(1 loop)

(295 loop)

Fig. 5 Stress-strain hysteresis loops (Incremental step)

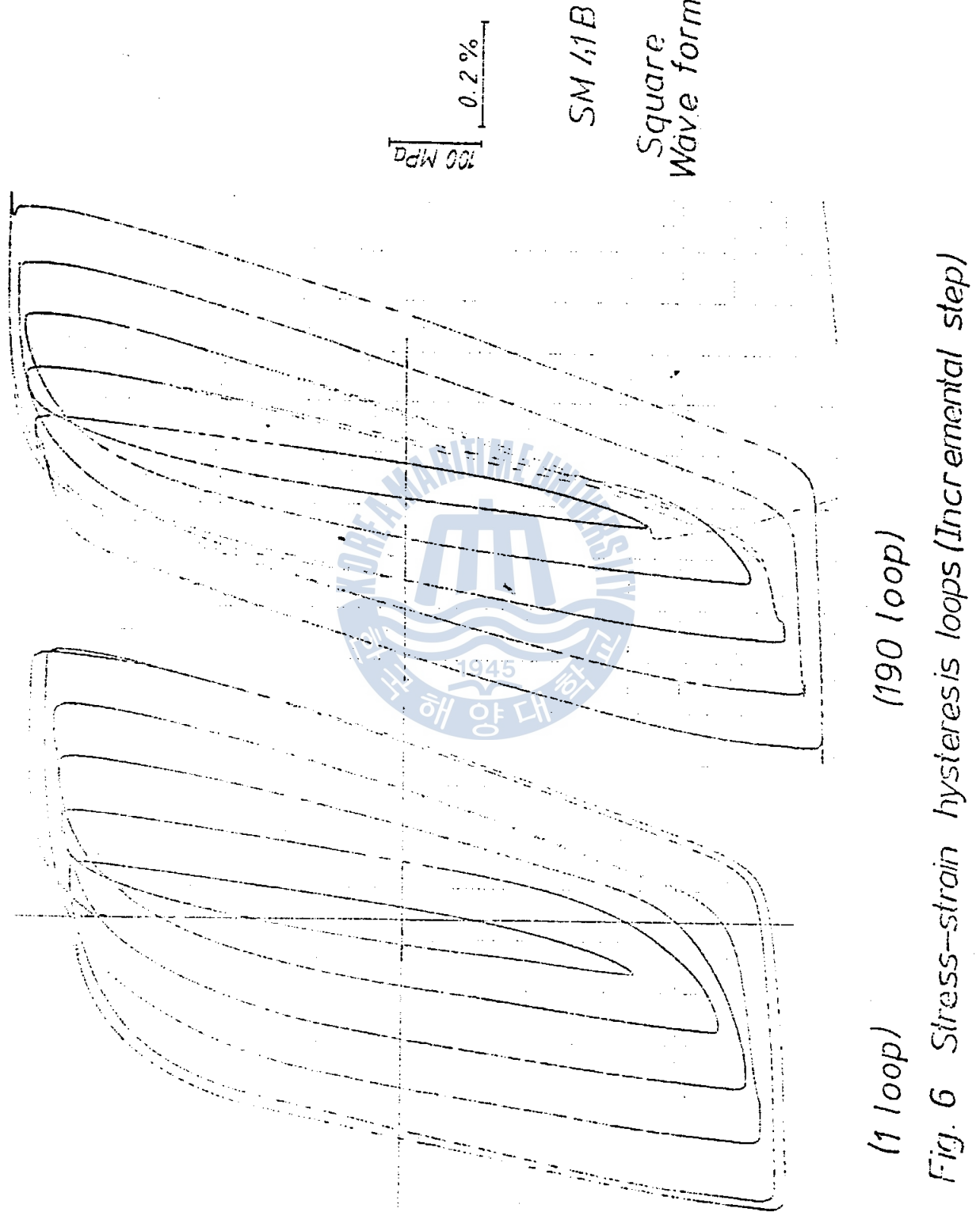


Fig. 6 Stress-strain hysteresis loops (Incremental step)

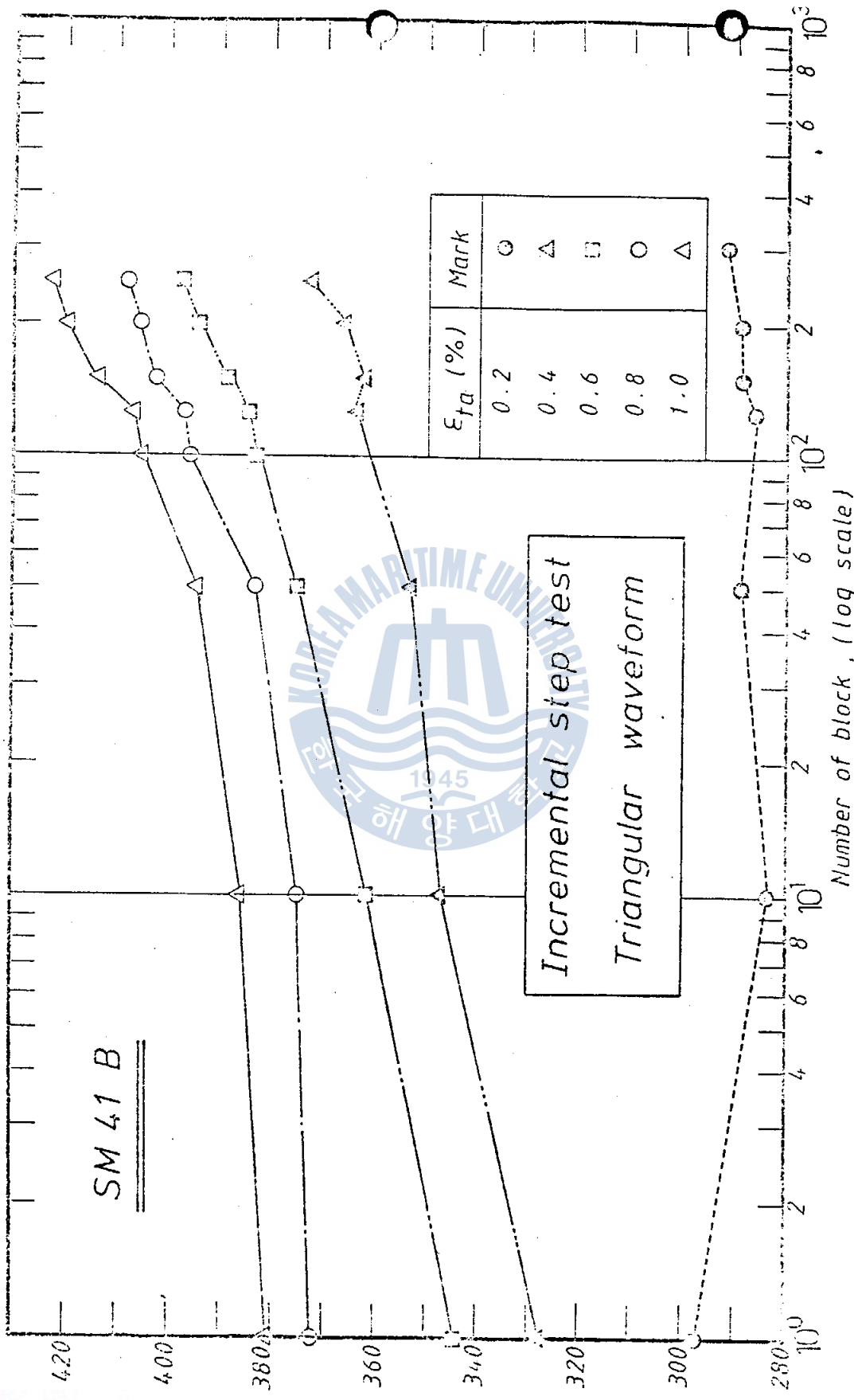


Fig. 7 Variation of cyclic stress amplitude with the change of block in incremental step test

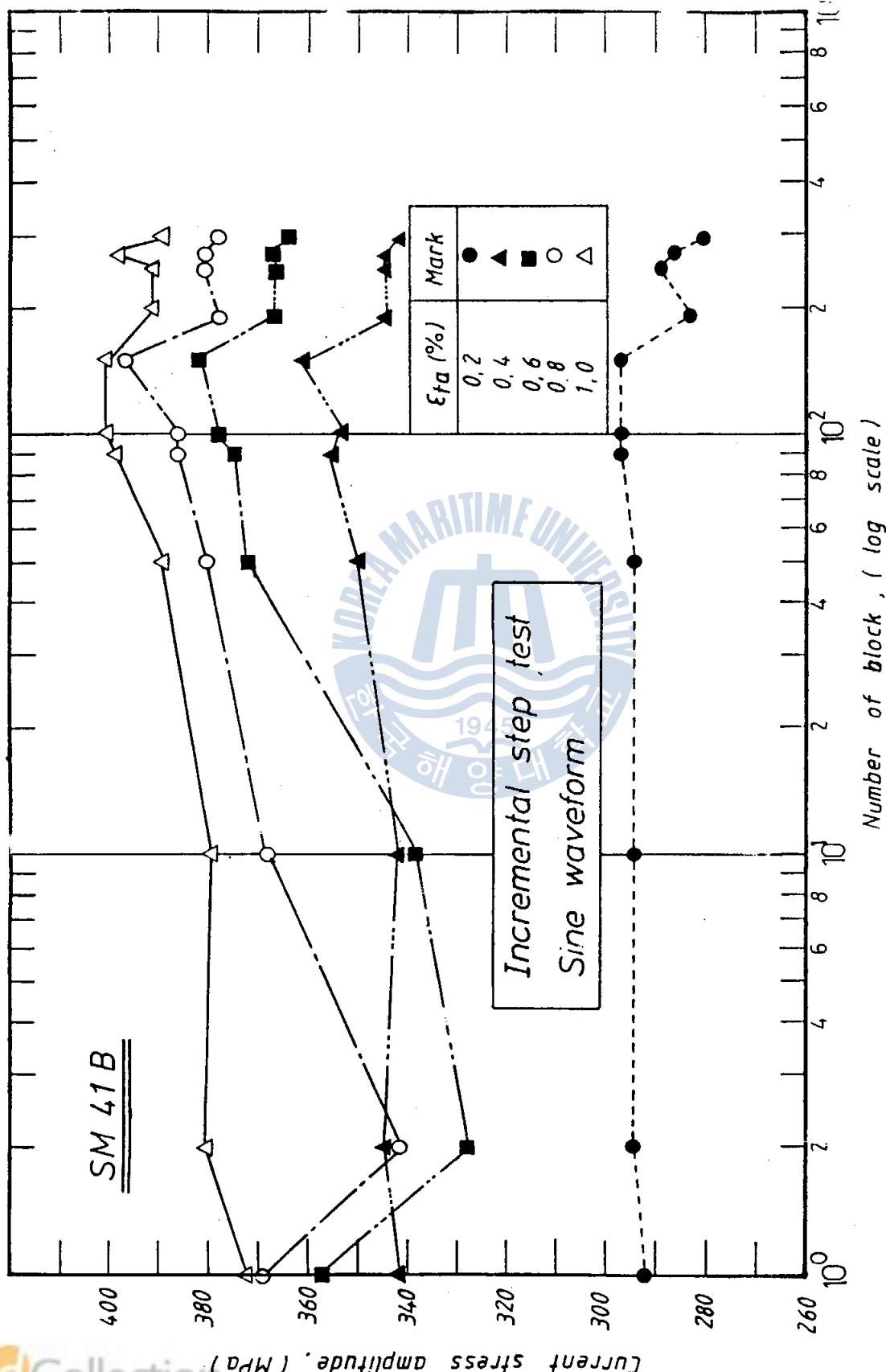


Fig. 8 Variation of cyclic stress amplitude with the change of block in incremental step test.

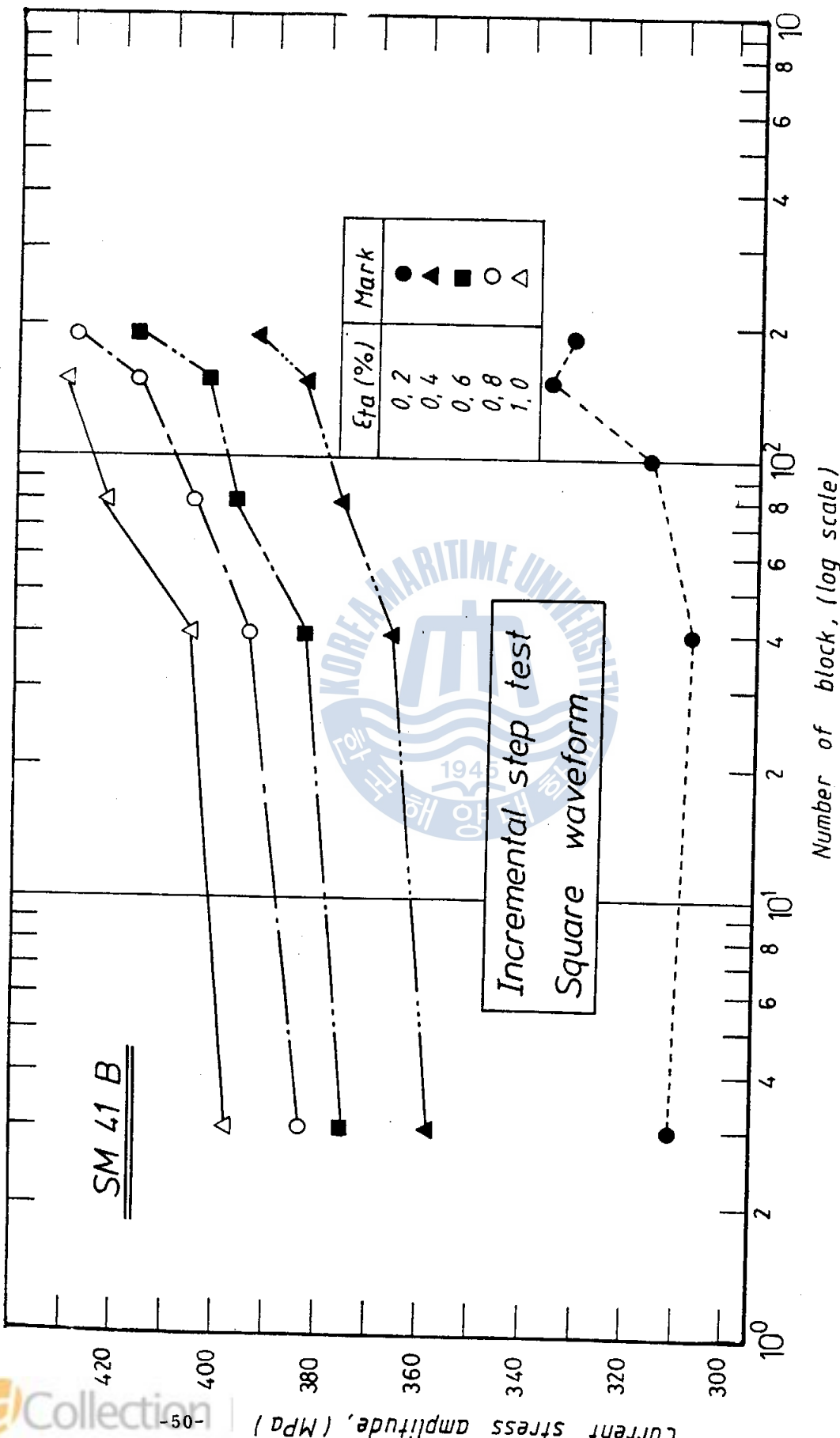


Fig. 9 Variation of cyclic stress amplitude with the change of block in incremental step test.

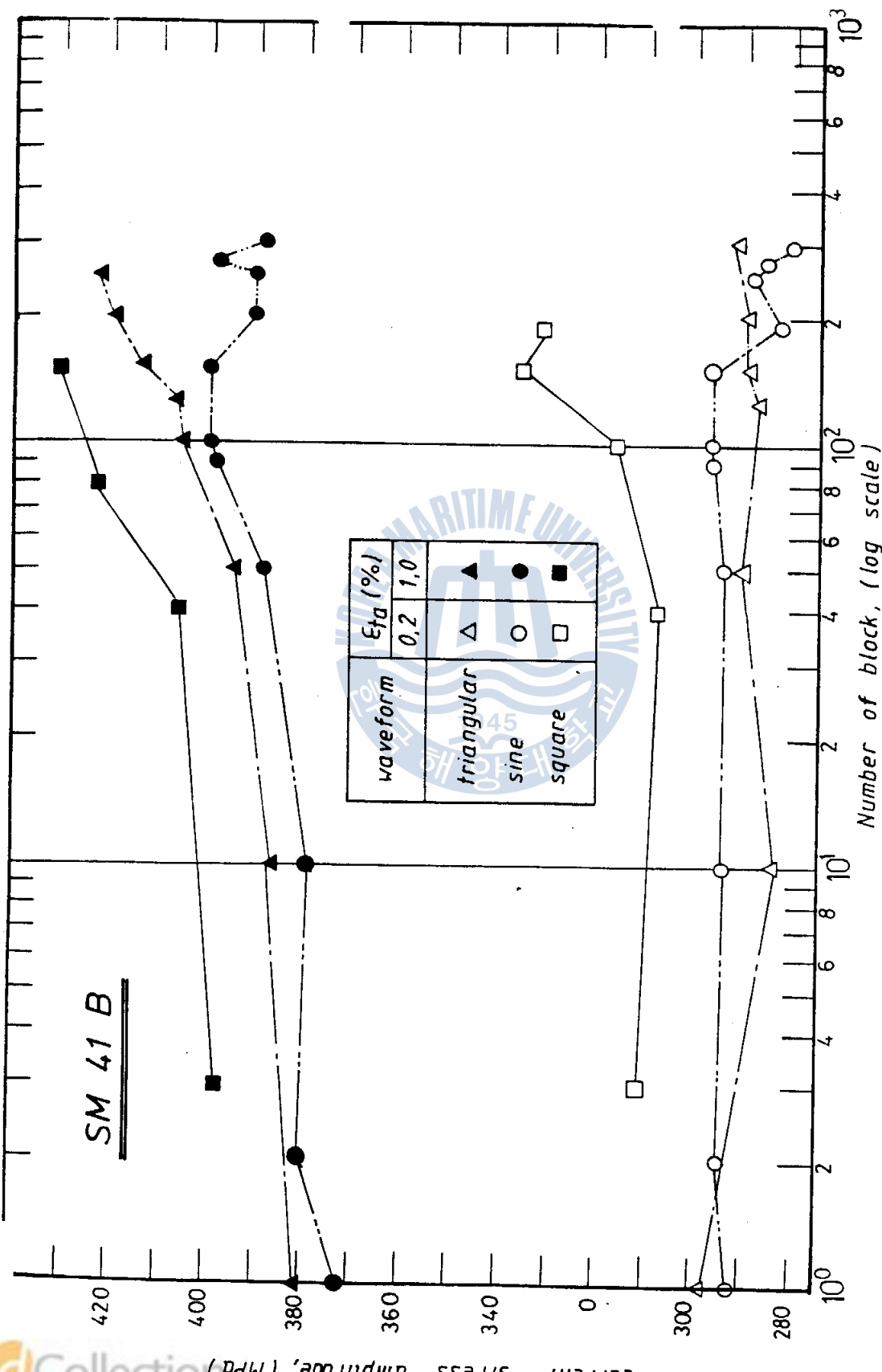


Fig. 10 Comparison of cyclic stress amplitude with the change of load waveform

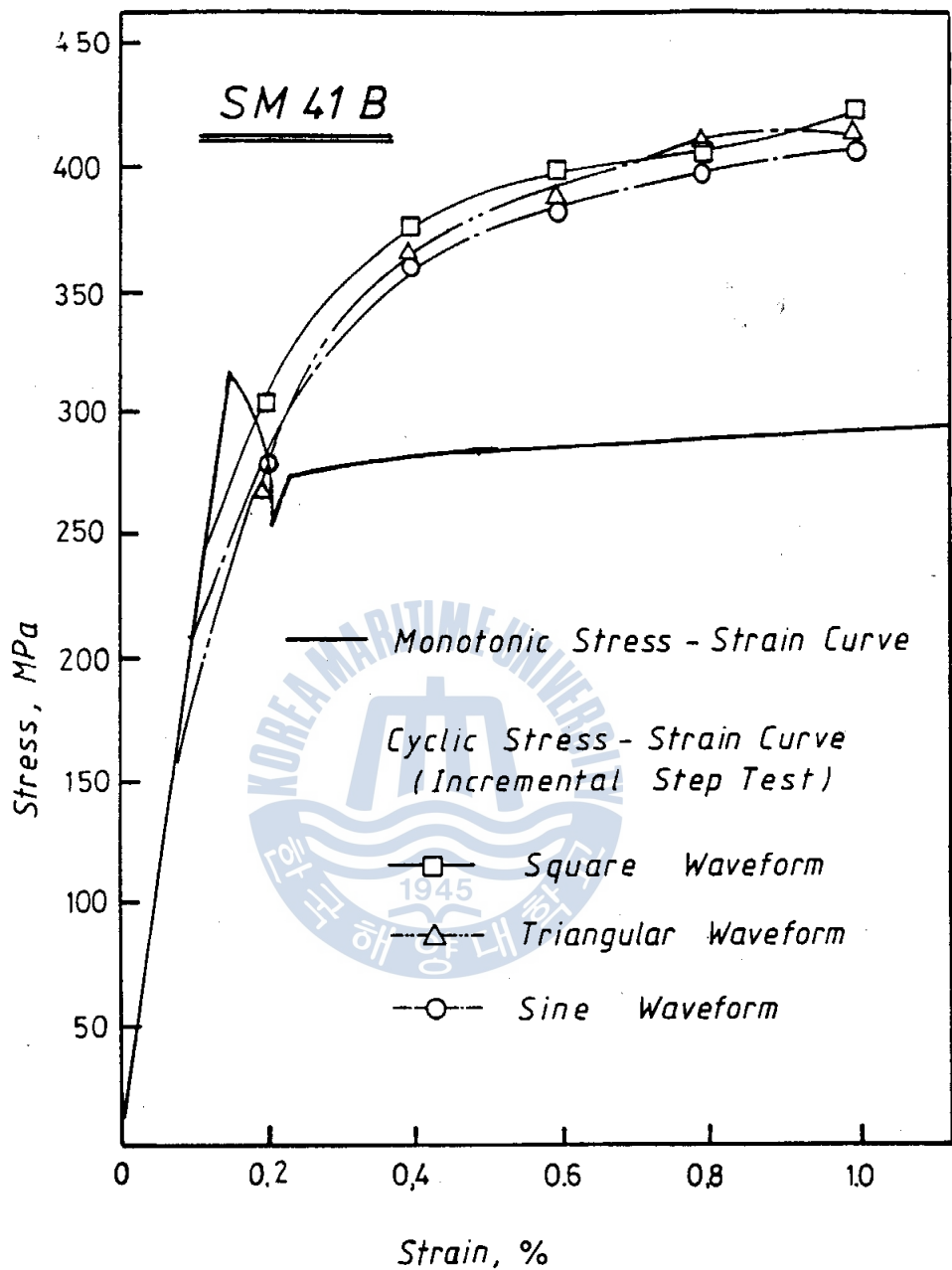


Fig.11 Comparison of Monotonic & Cyclic stress - strain behavior

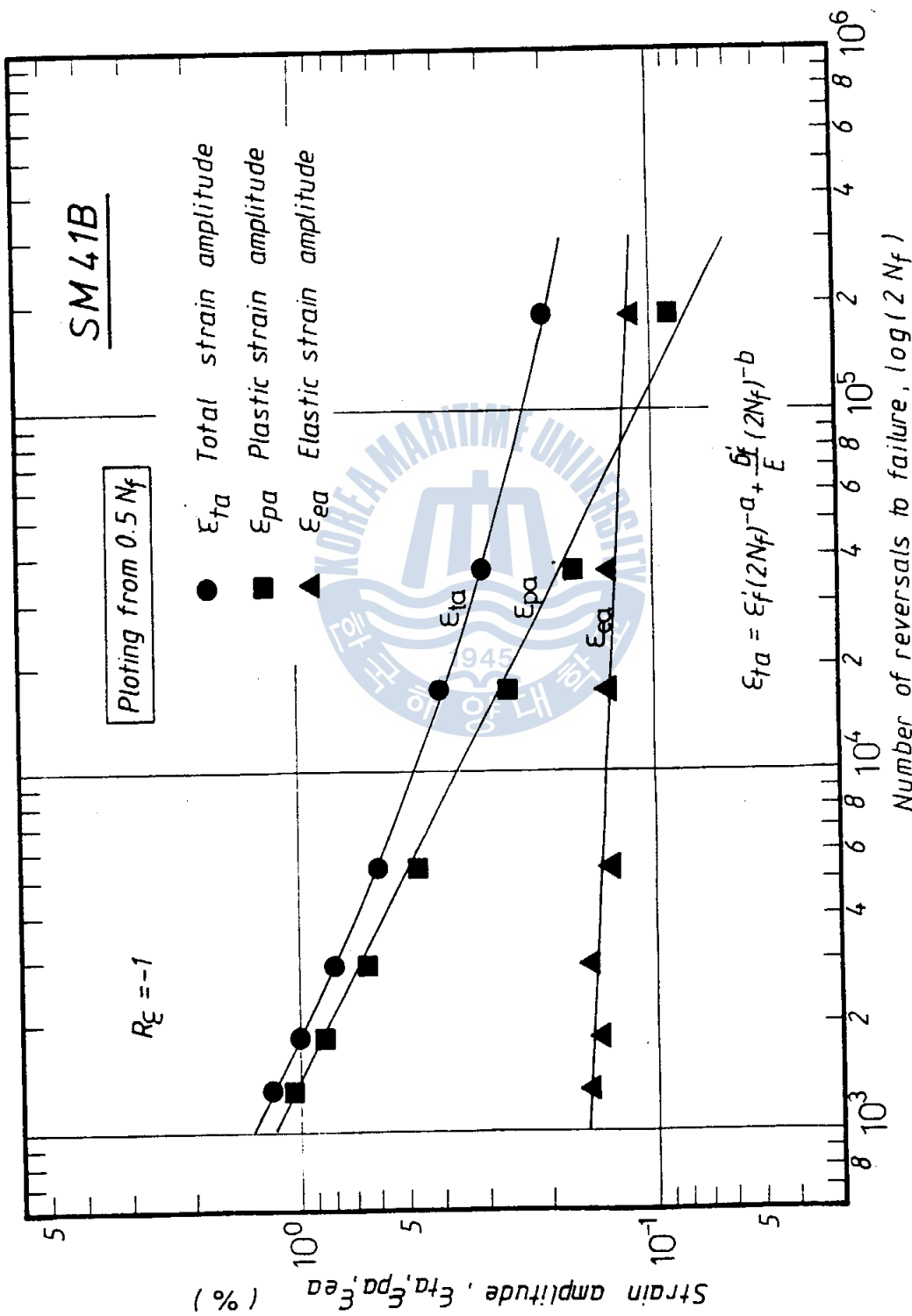


Fig. 12. Low cycle fatigue strain-life curve (SM 41B, $R_E = -1$)

Table 3. Coefficients & exponents of L.C.F Eq.

| Material | ε_f' | C | α_f'/E | b |
|----------|------------------|-------|---------------|-------|
| SM41B | 0.351 | 0.498 | 0.00237 | 0.06 |
| SF45A | 0.279 | 0.478 | 0.00342 | 0.087 |

Table. 4

Prediction of life by linear damage theory

| ε_{ta} | $2N_f$ | D_i |
|--------------------|--------|-------------|
| 0.2 % | 185000 | 0.000005405 |
| 0.4 % | 17000 | 0.000058824 |
| 0.6 % | 5450 | 0.00018349 |
| 0.8 % | 2900 | 0.00034483 |
| 1.0 % | 1850 | 0.00054054 |

$$\sum D_i = D_{0.2} + D_{0.4} + D_{0.6} + D_{0.8} + D_{1.0} = 0.0011331$$

Predicted $N_f = 441$ Block

Experimental $N_f = 300$ Block

Table. 5

Prediction of life by landgraf's damage theory

| ε_{ta} | $\varepsilon_{ea}(\%)$ | $\varepsilon_{pa}(\%)$ | D_i |
|--------------------|------------------------|------------------------|-----------|
| 0.2 % | 0.1164 | 0.0836 | 0.0000059 |
| 0.4 % | 0.1255 | 0.2745 | 0.0000746 |
| 0.6 % | 0.1163 | 0.4837 | 0.0003237 |
| 0.8 % | 0.1377 | 0.6622 | 0.0004509 |
| 1.0 % | 0.1509 | 0.8491 | 0.0006454 |

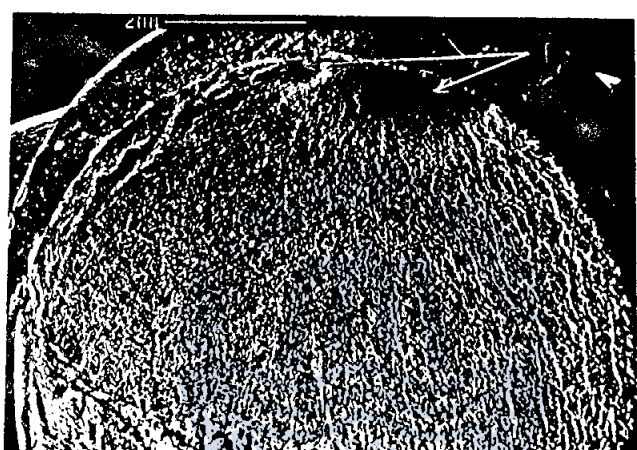
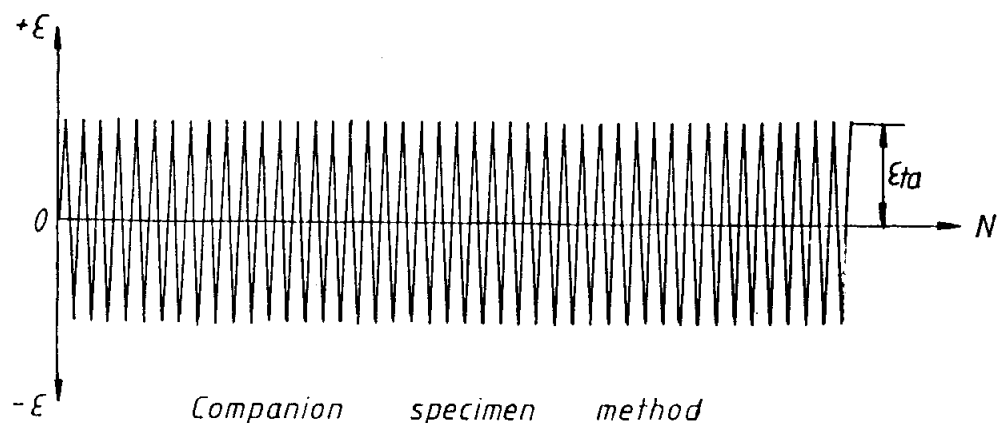
$$\sum D_i = D_{0.2} + D_{0.4} + D_{0.6} + D_{0.8} + D_{1.0} = 0.0015006$$

$$\text{Predicted } N_f = \frac{1}{2 \sum D_i} = \underline{\quad 333 \text{ block} \quad}$$

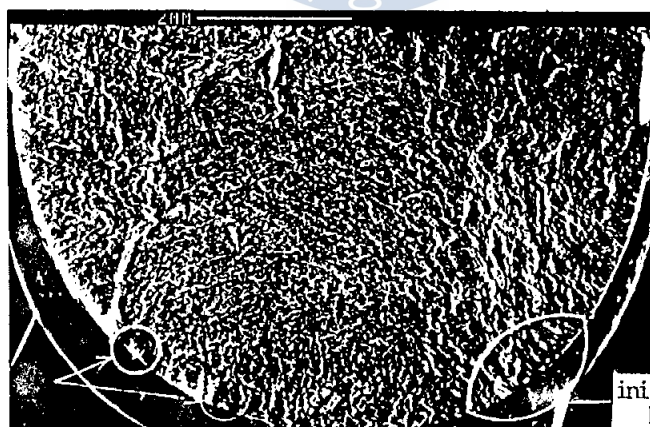
$$\text{Experimental } N_f = \underline{\quad 300 \text{ block} \quad}$$

Table 6 Comparison of fatigue life

| Waveform | Number of block to failure |
|------------|----------------------------|
| Triangular | 300 block |
| Sine | 306 block |
| Square | 204 block |

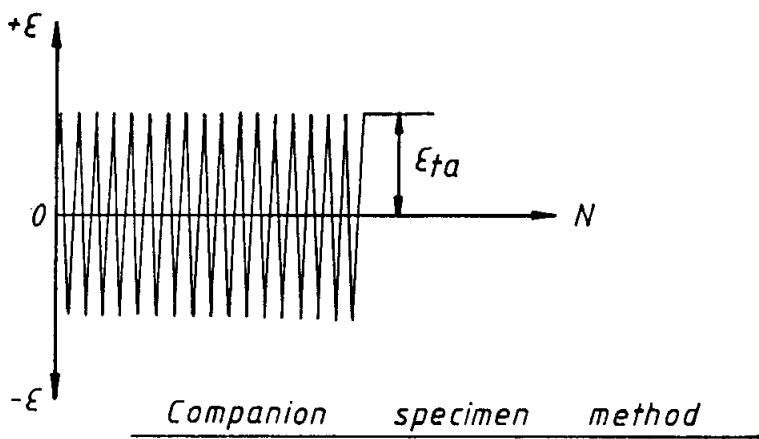


$\varepsilon_{ta} = 0,2 \%$

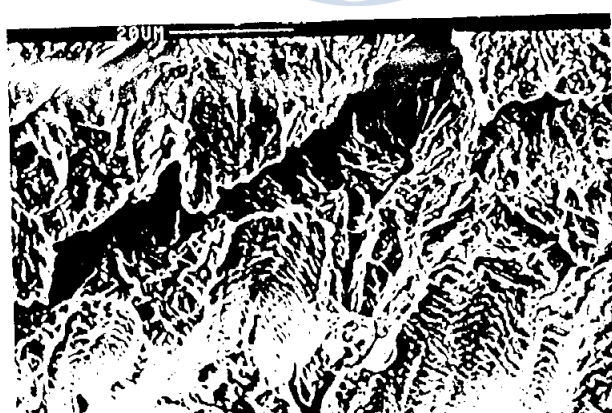


$\varepsilon_{ta} = 1,0 \%$

Photo.2 Macroscopic fractographies of the low cycle fatigue fracture surface by companion specimen method.

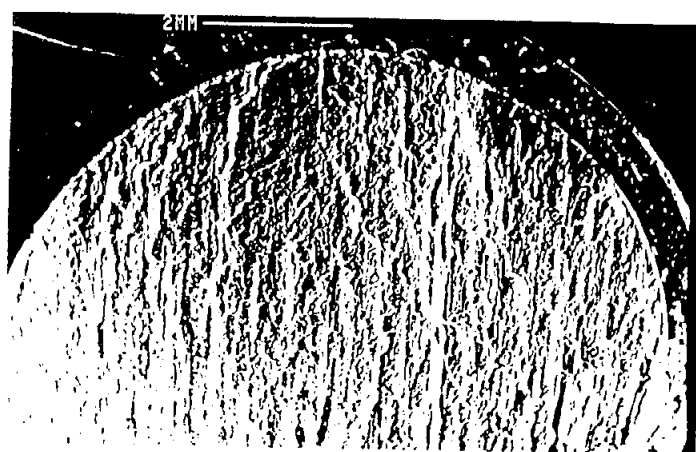


$\epsilon_a = 0,2 \%$



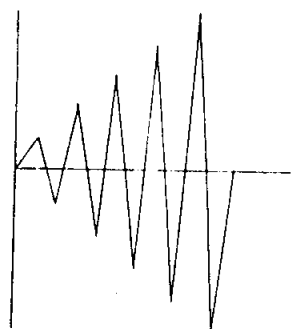
$\epsilon_a = 1,0 \%$

Photo.3 Microscopic fractographies of the low cycle fatigue fracture surface by companion specimen method.

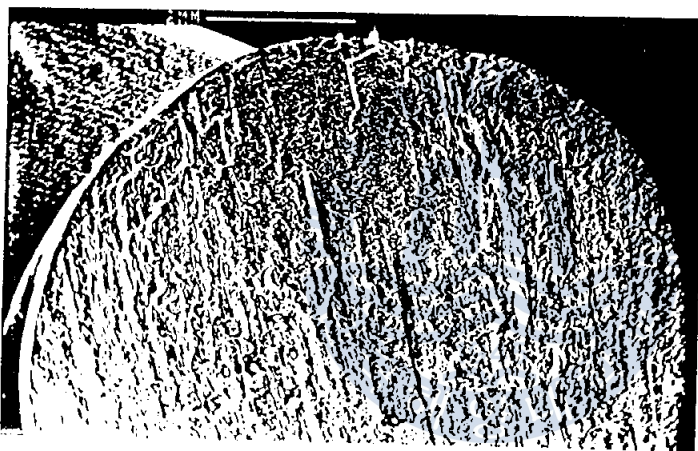


Incremental

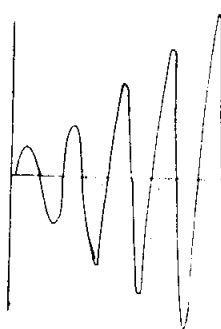
× 10



Triangular waveform

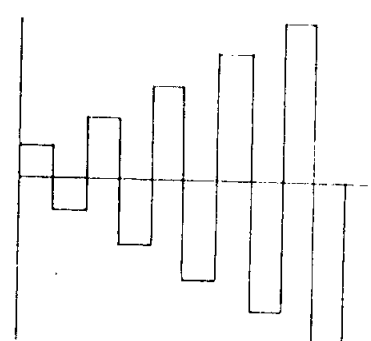
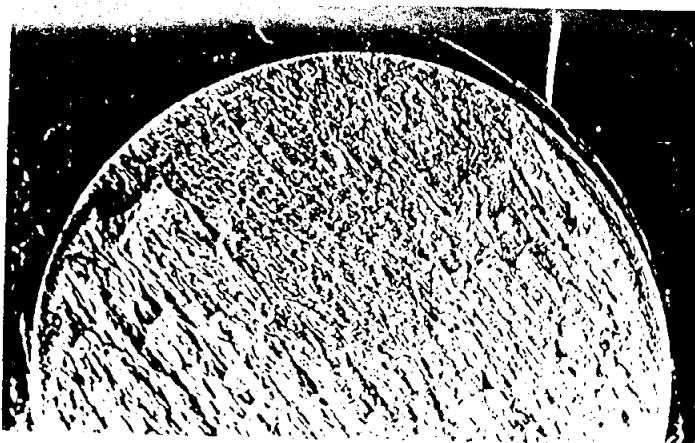


× 10



Sine waveform

× 10



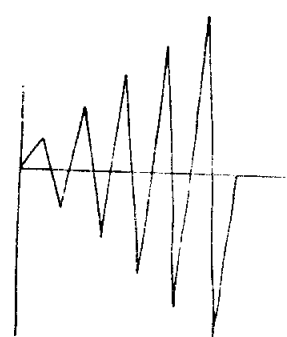
Square waveform

Photo.4 Macroscopic fractographies of the low cycle fatigue fracture surface by incremental step test.

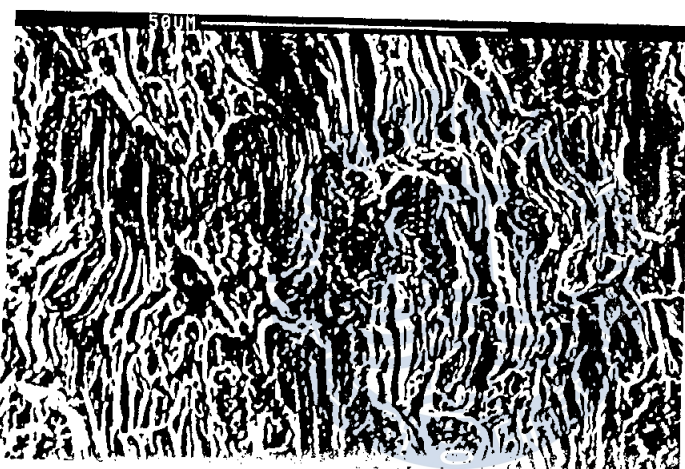


Incremental

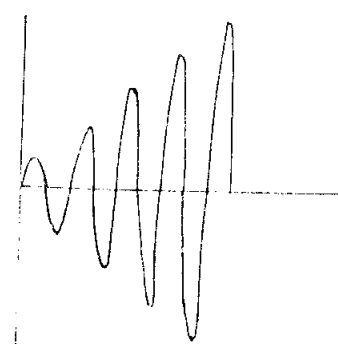
10



Triangular waveform



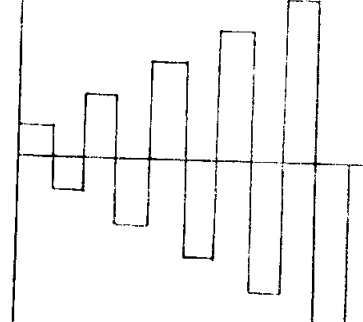
× 10



Sine waveform



× 10



Square waveform

Photo.5 Microscopic fractographies of
the low cycle fatigue fracture surface
by incremental step test.

微分方程式의 解法에 關한
加重殘餘法들의 比較에 關한 研究

指導教授 王 之 錫



韓國海洋大學 船舶機械工學科 4年
甘敬根 石尚昌 澈然
鄭基錫 鄭昌然